

Г. А. ПАТРИКЕЕВ

ИЗУЧЕНИЕ УПРУГИХ ДЕФОРМАЦИЙ МАКРОМОЛЕКУЛ  
В ПРОЦЕССЕ СОКРАЩЕНИЯ ОДНООСНО РАСТЯНУТЫХ  
ПОЛИМЕРОВ

(Представлено академиком В. А. Каргиным 29 VII 1969)

1. Механическое натяжение макромолекулы с гибкой цепью может возникнуть при вынужденном изменении конформации (I стадия растяжения) (1), при вынужденном растяжении валентных углов (II стадия) и межатомных связей (III стадия) (2, 3). Согласно (3<sup>а</sup>) о механических свойствах деформированных полимеров можно судить на основе предположения о каркасной связности.

В начальной стадии самопроизвольного сокращения значительно растянутых эластомеров стадия сокращения должна отражать последовательный переход от III к II стадии и от II к I стадии сокращения макромолекулы (3<sup>б, г</sup>). Если за начало отсчета принять  $\varepsilon_{\text{max}}$ , то относительное уменьшение удлинения при сокращении ( $\Delta\varepsilon$ ) упруго растянутой макромолекулы можно представить как сумму деформаций, последовательно приводящих к восстановлению межатомных связей ( $\Delta\varepsilon_c$ ), валентных углов ( $\Delta\varepsilon_\phi$ ) и первоначальной конформации макромолекулы ( $\varepsilon_s$ ):

$$\Delta\varepsilon = \Delta\varepsilon_c + \Delta\varepsilon_\phi = \varepsilon - \varepsilon_s. \quad (1)$$

При наличии жестко искаженных конформаций, например спиральных, по кристаллографическим данным можно оценить деформацию ( $\Delta\varepsilon_i$ ), отражающую переход к полному выпрямлению макромолекулы.

В статье применяется макромолекулярная механика (3) в качестве косвенного метода для изучения упругих деформаций макромолекул.

2. Модули упругости продольно ориентированных кристаллов полиэтилена (ПЭ) и поливинилового спирта (ПВС) по результатам прямых рентгеноструктурных измерений оказались близкими  $E_{\text{кр}} = a_{\text{кр}} : s_0 \approx 2,5 \cdot 10^6 \text{ кГ} \cdot \text{см}^{-2}$  при  $s_0 = 18,5 \cdot 10^{-16} \text{ см}^2$  (ПЭ) и  $s_0 = 20,5 \cdot 10^{-16} \text{ см}^2$  (ПВС) (4). При вычислении модуля упругости кристаллической решетки ПЭ и ПВС фактически допускалось, что кристалл деформируется как целое, и что деформации валентных углов были «заморожены»; поэтому можно принять  $a_c \approx a_{\text{кр}}$ . При наличии подвижности у макромолекул в кристаллах (4)  $a_{\text{кр}}$  должно быть значительно меньше  $a_c$ . Согласно (3<sup>д</sup>) на III стадии растяжения для изолированной углеводородной макромолекулы можно принять  $a_c \approx 4-7,5 \cdot 10^{-9} \text{ кГ}$ ; тогда при  $s_0 = 18,5 \cdot 10^{-16} \text{ см}^2 E_c' \approx 2-4 \cdot 10^6 \text{ кГ} \cdot \text{см}^{-2}$ . Эти величины рекомендуются в качестве стандартных. Приближенная оценка  $E_c$  для макромолекул производится с учетом поправки  $\theta = 18,5 \cdot 10^{-16} : s_0$ .

На III стадии растяжения макромолекулы напряжение  $R_c \approx 1 \cdot 10^5 \text{ кГ} \cdot \text{см}^{-2}$  (3<sup>а, б</sup>). Тогда  $-\Delta\varepsilon_c = R_c / E_c \leqslant 0,02-0,04$ , что соответствует абсолютному сокращению межатомных C—C-связей на  $\sim 0,03-0,06 \cdot 10^{-8} \text{ см}$ . Предельная степень относительной деформации макромолекулы ПЭ на II стадии сокращения за счет восстановления валентного угла ( $\Delta\varepsilon_\phi$ ) не может превысить величины 0,22, что соответствует абсолютному сокращению единичной связи на  $\sim 0,3 \cdot 10^{-8} \text{ см}$ ; при этом эффективное сечение макромолекулы ( $s_\phi$ ) должно уменьшиться почти на 20% при сохранении постоянства объема ( $v_\phi \approx v_0$ ).

В табл. 1 приведены опеночные предельные значения  $\Delta\varepsilon$ ,  $\Delta\varepsilon_\phi$ ,  $\Delta\varepsilon_i$  при  $\Delta\varepsilon_c = 0,04$ , рассчитанные по кристаллографическим данным (5); значения  $E_c$  вычислены при  $E_c' = 2,4 \cdot 10^6 \text{ кГ} \cdot \text{см}^{-2}$  с учетом поправки  $\theta$  и при  $\eta_e = 1$ .

3. На основании принятых в п. 1 предположений (3), переход от III к I стадии деформации макромолекулы при упругом сокращении значи-

тельно растянутого полимера учитывается соотношением:

$$\frac{E_c}{E_s} = \frac{E_\beta}{E_\gamma} \frac{1}{\eta_x} \frac{1}{\eta_\epsilon} \frac{l_{\text{экв}}}{l}, \quad (2)$$

где  $\eta_x = n_x s_0 l = F / \theta R_c$ ;  $f = n_x \sigma_c$ ;  $\sigma_c = a_c \varepsilon_c$ ;  $\eta_\epsilon = \varepsilon_c / \varepsilon_e = \beta_2 / \beta_1 = f^2 / 2AE_\beta$ ;  $\Delta\varepsilon_c = f / E_\beta$ ; где  $f$ ,  $F$ ,  $\varepsilon$ ,  $l$ ,  $A$ ,  $\Gamma$ ,  $\eta_r$  — удельная нагрузка, напряжение, относительное удлинение, относительная длина, работа растяже-

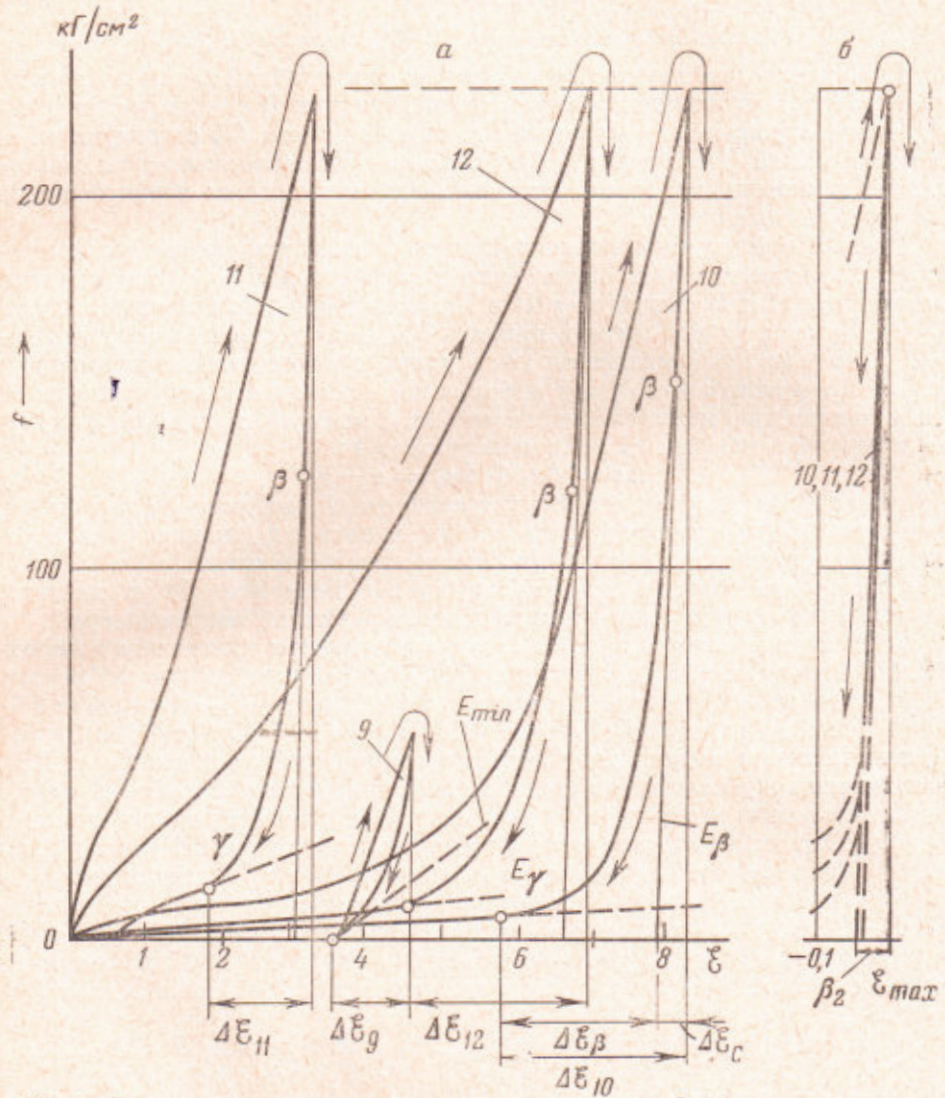


Рис. 1. Диаграммы растяжение — сокращение (а) и совмещенные ветви сокращения (б) для резин. Индексами при  $\Delta\varepsilon$  обозначены номера резин; 9 — резина (10), закристаллизовавшаяся при  $20 \pm 5^\circ\text{C}$  после 18 лет при  $\varepsilon = 4,15$ ; 10 — резина из НК; 11 — сажевая — из НК; 12 — сажевая — на основе карбоксилатного БСК

ния, гистерезис, относительная доля гистерезиса соответственно.  $l = \varepsilon + 1$ ;  $F = lf$ ;  $\eta_r = \Gamma : A$ ,  $E_\beta$ ,  $E_\gamma$ ,  $E_{\min}$  — неравновесные модули упругости, характеризующие соответственно начальную высокомодульную ( $E_\beta$ ) и конечную низкомодульную ( $E_\gamma$ ,  $E_{\min}$ ) стадию сокращения резины (см. рис. 1а).  $l_{\text{экв}} = \pi \varphi l$  — эквивалентная длина каркаса (36).  $\pi$ ,  $j_z$ ,  $\varphi$  — коэффициенты, характеризующие степень разветвленности ( $\pi$ ) и искривления ( $j_z$ ) «секций» каркаса и расхождение макро- и макродеформаций ( $\varphi$ ) (36, 3).

Преобразуя (2), находим для эластомеров

$$E_7 / \theta E_s = \beta_1^2 (E_\beta / f)^2 = \beta_1^2 (1 / \Delta \mathcal{E}_c^2). \quad (3)$$

Максимальное значение  $\eta_x$  достигает величины 0,01;  $\beta_1$  — меняется в пределах от 0,4 до 0,8;  $\eta_e = 0,06 + 0,12$  (3<sup>a</sup>), а  $\eta_r$  — от 0,6 до 0,85 (3<sup>c</sup>).

Для закристаллизовавшихся или застеклованных полимеров можно принять (3<sup>a</sup>)  $\mathcal{E} \approx \varepsilon_c$  и  $f = E_\beta \cdot \mathcal{E}$ , тогда:

$$\frac{E_{\min}}{\theta E_s} \approx \frac{E_\beta}{E_a} \frac{1}{\eta_x} j_x \varphi. \quad (4)$$

4. При испытании большого набора резин (3<sup>b</sup>) установлены следующие пределы вариации значения показателей:  $\Delta \mathcal{E} : l = 0,2 \div 0,35$ ;  $\beta_2$  — от 0,04 до 0,08 (для сильно загруженных резин);  $E_7$  — от 0,5—1 (для мало загруженных резин) до 5—9 кГ·см<sup>-2</sup> (для загруженных «сажевых» резин). Все перечисленные параметры и коэффициенты зависят от  $f$  (3<sup>b</sup>).  $E_7$  находится в корреляции с  $\eta_r$ , уменьшаясь по мере увеличения  $\eta_r$ . Между структурным гистерезисом ( $\eta_r$ ),  $\eta_e$  и  $\eta_r$  зависимость устанавливается по соотношению

$$\eta_r + \delta \eta_e + \eta_r = 1, \quad (5)$$

где  $\eta_r = A_7 / A = f_7 \mathcal{E} / f_1 \beta_1$  и  $\delta$  — поправочный коэффициент, зависящий от  $\eta_r$  и др.

Переход от макроскопического сокращения образца ( $\Delta \mathcal{E}_c$ ) к упругому сокращению каркаса ( $\Delta \varepsilon_c$ ) в начальной стадии процесса дается соотношением  $\Delta \mathcal{E}_c = \beta_2 l$  при условии допущении, что  $E_c = \text{const}$ , что эквивалентно предположению о сокращении образца лишь за счет восстановления межатомных связей.

В действительности модуль упругости  $E_\beta$  в точке  $\beta$  начинает существенно уменьшаться; поэтому можно предположить, что точка  $\beta$  отражает завершение перехода от III к II стадии сокращения каркаса. Для примера на рис. 1 приведены диаграммы 1 цикла растяжение — сокращение (a) и схема

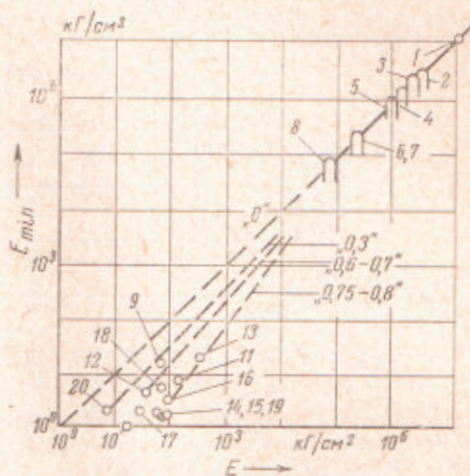


Рис. 2. Корреляция между  $E_{\min}$  (или  $E_7$ ) и  $f$  с учетом структурного гистерезиса ( $\eta_r$ ). Цифрами в кавычках на пунктирных линиях обозначены величины  $\eta_r$ . 1 — алмаз (6); 2 — кристаллы (II) ПВС (3); 3 — кристаллы (II) полиэтилена (4); 4 — целлюлоза (5); 5 — полиэтилентерефталат (4); 6 — полизэтилен высокориентированный (4); 7, 8 — фенопласти (3<sup>a</sup>); 9—12 — то же, что на рис. 1, 13 — смокед-шифт застекловавшийся; 14 — то же, но аморфный. Наполненные резины (в скобках дано содержание наполнителей в см<sup>3</sup> на 100 в.ч. каучука): 15 — сажевая НК (25); 16 — сажевая НК (30); 17 — «меловая» НК (25); 18 — молотая слюда НК (20); 19 — сажевая СКБ (33); 20 — сажевая из бутилкаучука (10)

Приближенная оценка  $\Delta \varepsilon$  и  $E_c$

Таблица 1

Полимер	Источник	$\Delta \varepsilon_j$	$\Delta \varepsilon_\varphi$	$\Delta \varepsilon$	$\theta$	$10^{-6} \cdot E_{\text{кр}} \text{эксп.}$	$10^{-4} \cdot E_c \text{оценка}$
						$\text{kG} \cdot \text{см}^{-2}$	
Полиэтилен	(4)	—	0,22	0,26	1	2,4	2,4
Полипроизилен	(4)	0,1	0,22	0,26	0,54	0,4	1,3
Цис-1, 4-полиизопрен	(5)	0,49	0,22	0,26	0,8	—	1,9
Полизобутилен, бутилкаучук	(4)	0,4	0,22	0,26	0,5	—	1,2
Поликарбонат	(4, 5)	0,48	0,1	0,14	0,62	—	1,5
Алмаз	(6)	—	0,00	$\Delta \varepsilon_c$	5	41	12

совмещения ветвей сокращения для 3 резин, существенно отличающихся по составу и свойствам (б); для обеспечения совмещения кривых введена поправка на величину  $\beta_2$ .

Согласно приведенным на рис. 2 данным, между логарифмами  $E_{min}$  и  $E$  наблюдается достаточно хорошая корреляция, если учесть величину  $\gamma$ .

5. Существенное увеличение  $E_{min}$  при кристаллизации и стекловании полимеров предлагается истолковать как следствие частичного «замораживания» деформаций валентных углов. Это предположение эквивалентно утверждению о невозможности в застеклованном состоянии преодолеть потенциальные барьеры поперечного сжатия при самопроизвольном восстановлении первоначального эффективного сечения.

На рис. 3 приведена обобщенная кривая, отра-

Рис. 3. Изменение модуля упругости ( $E$ ) в начальной стадии упругого сокращения. I, II, III — стадии сокращения макромолекул; заштрихованные ординаты — границы переходов. Цифры соответствуют номерам полимеров на рис. 1 и 2

жающая степень уменьшения модуля упругости в  $10^4 - 10^5$  раз предлагается рассматривать как следствие существенного уменьшения жесткости макромолекулы по мере восстановления валентного угла. Приведенные на рис. 3 и на рис. 4а данные по  $\Delta\epsilon_c$ ,  $\Delta\epsilon$  и  $\Delta\epsilon_\varphi$  согласуются с данными, приведенными в п. 2 и п. 3; принято, что  $\Delta\epsilon_c = \Delta\epsilon_c : l_{max} = \epsilon_c$ ,  $\Delta\epsilon_\varphi \approx \Delta\epsilon_\varphi$  и  $\epsilon_v \approx \epsilon_v$ . По экспериментальной величине модуля  $E_{min}$  и  $\Delta\epsilon_\varphi$  рекомендуется оценивать степень замораживания деформаций валентных углов у застеклованных и кристаллических полимеров. Восстановление валентных углов до равновесного состояния имеет определяющее значение для процесса упругого последействия.

6. Изучаемые структурно-релаксационные эффекты истолковываются на основе предположения о каркасной связности (3<sup>б</sup>, д).

Такая возможность представилась благодаря последовательному применению III закона И. Ньютона для изучения условий механического равновесия на молекулярном (надмолекулярном) уровне. Согласно (3<sup>г</sup>, д), молекулярный механизм вынужденных деформаций полимеров коренным образом отличается от механизма изучаемых самопроизвольных процессов; отметим, что проблема вынужденных деформаций полимеров впервые была рассмотрена А. П. Александровым (1).

Поступило  
21 VII 1969

#### ЦИТИРОВАННАЯ ЛИТЕРАТУРА

- <sup>1</sup> W. Kuhn, Koll. Zs., 68, 2 (1934); 76, 258 (1936); E. Guth, H. Mark, Monatsh. Chem., 65, 93 (1934). <sup>2</sup> W. Kuhn, H. Kuhn, Helv. chim. acta, 29, 1095 (1946).
- <sup>3</sup> Г. А. Патрикеев, а) ДАН, 120, № 2, 339, (1958); б) ДАН, 120, № 3, 562 (1958); в) ЖФХ, 33, № 9, 2081 (1959); г) ДАН, 133, № 2, 405 (1960); д) ДАН, 183, № 3, 636 (1968). <sup>4</sup> И. Сакурадо, Т. Ито, К. Накамае, Хим. и технол. полимеров, № 10, 19 (1964). <sup>5</sup> Ф. Х. Джейл, Полимерные монокристаллы, Л., 1968. <sup>6</sup> Физическая акустика, под ред. У. Мозона, З ч. Б, М., 1968, стр. 62. <sup>7</sup> А. П. Александров, Тр. I и II конфер. по высокомолек. соед., Изд. АН СССР, 1945, стр. 49.